

# 1 问题描述

## 1.1 区域耦合算法

### 1.1.1 模型问题

考虑一维偏微分方程组

$$\frac{\partial \phi(x, t)}{\partial t} = -\frac{\partial f(\phi)}{\partial x}, \quad \text{on } \Omega_1; \quad (1a)$$

$$\frac{\partial \phi(x, t)}{\partial t} = -\frac{\partial g(\phi)}{\partial x}, \quad \text{on } \Omega_2, \quad (1b)$$

其中问题域为  $\Omega := \Omega_1 \cup \Omega_2 = [0, 1]$  且  $\Omega_1 \cap \Omega_2 = \{x_I\}$ ,  $x_I \in [0, 1]$ .  $\phi$  是守恒的状态变量. 本文考虑抛物方程, 即

$$f = -v \frac{\partial \phi}{\partial x}; \quad g = -v \frac{\partial \phi}{\partial x}, \quad (2)$$

其中扩散系数  $v: [0, 1] \rightarrow \mathbb{R}^+$  可能在空间上有很大的变化从而导致  $f$  和  $g$  之间的巨大差异. 在交界处通量连续

$$f(\phi)|_{x=x_I^-} = g(\phi)|_{x=x_I^+} = -v_I \frac{\partial \phi(x_I)}{\partial x}, \quad (3)$$

其中  $v_I := v(x_I)$  是在交界处的扩散系数.

在本文中, 我们假设 (1a) 是一个较快的过程而 (1b) 描述的是一个较慢的过程, 即对  $x \in \Omega_1$ ,  $v(x)$  要大于  $x \in \Omega_2$  的. 对于边界条件, 本文中假设左侧边界由  $\phi_0(t)$  驱动而右侧则满足齐次 Neumann 条件,

$$\phi(t)|_{x=0} = \phi_0(t); \quad (4a)$$

$$g(\phi)|_{x=1} = 0. \quad (4b)$$

### 1.1.2 主要思想

如图 1 所示,  $\Omega_1$  和  $\Omega_2$  分别被离散成  $M$  和  $N-M$  个均匀区间  $[x_{j-\frac{1}{2}}, x_{j+\frac{1}{2}}]$ ,  $j = 1, \dots, M, M+1, \dots, N$ ,  $x_i = hi$ ,  $x_{i \pm \frac{1}{2}} = x_i \pm \frac{1}{2}h$ ,  $h$  为网格尺度. 未知量  $\phi$  位于单元格中心而通量则处于单元格边界处. 特别的, 我们有  $x_M \in \Omega_1$ 、 $x_{M+1} \in \Omega_2$  且交界位置  $x_I = x_M + \frac{1}{2}h$  总是在两个相邻单元格的边界上.

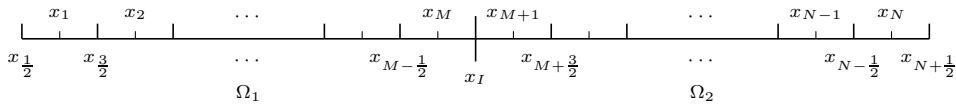


图 1:  $\Omega_1$  和  $\Omega_2$  分别被离散成  $M$  和  $N-M$  个均匀区间, 交界位置为  $x_I = x_M + \frac{1}{2}h$ .

通过运用空间中心差分和时间向后欧拉, 我们可以得到一个线性系统. 特别的, 由条件 (3), 在  $x_M$  处, 我们有

$$\frac{\phi_M^{n+1} - \phi_M^n}{k} = \frac{1}{h} \left\{ f_{M-\frac{1}{2}}^{n+1} - v_I \frac{\phi_M^{n+1} - \phi_{M+1}^{n+1}}{h} \right\}, \quad (5)$$

其中上标  $n$  表示时间  $t_n = nk$ , 时间步长  $k = O(h)$ . 在每个时间步中, 我们希望将 (1a) 的解从 (1b) 中解耦出来. 即为两个子问题提供在  $x_l$  处的边界条件从而将其解耦成两个子线性系统. 为此, 我们寻找一个近似

$$\phi_{M+1}^{n+1} \approx \phi_{M+1}^* \left( \phi_M^{n+1}, \{\phi_j^n\}_{j=1}^N \right), \quad (6)$$

其中, 右端项只由  $\phi_M^{n+1}$  和已知量组成, 将 (6) 代入 (5) 就可以得到第  $M$  个单元格上的方程

$$\frac{\phi_M^{n+1} - \phi_M^n}{k} = \frac{1}{h} \left\{ f_{M-\frac{1}{2}}^{n+1} - \nu_l \frac{\phi_M^{n+1} - \phi_{M+1}^*}{h} \right\}. \quad (7)$$

因为我们假设  $\Omega_2$  上是较慢的物理过程, 所以可以令  $g_{M+\frac{3}{2}}^{n+1} \approx g_{M+\frac{3}{2}}^n$ , 结合第  $M+1$  个单元格上的离散格式可以得到  $\phi_{M+1}^*$  的方程:

$$\frac{\phi_{M+1}^* - \phi_{M+1}^n}{k} = \frac{1}{h} \left\{ \nu_l \frac{\phi_M^{n+1} - \phi_{M+1}^*}{h} - g_{M+\frac{3}{2}}^n \right\}. \quad (8)$$

当  $\phi \in \Omega_1$  已经被推进到  $t_{n+1}$  时刻, 我们设  $\frac{\partial \phi^{n+m}}{\partial n} \Big|_{x_l^+} := \frac{1}{m} \sum_{j=1}^m \frac{\phi_M^{n+j} - \phi_{M+1}^*}{h}$  作为  $\Omega_2$  在交界处  $x_l$  处的 Neumann 边界条件, 从而对  $\Omega_2$  上的子问题进行求解。

### 1.1.3 常系数情况下线性系统

在时间上采用后欧拉法, 空间上采用中心差分法, 在整个问题域  $\Omega$  上离散  $\frac{\partial \phi}{\partial t} = \nu \frac{\partial^2 \phi}{\partial x^2}$ , 其边界条件为 (4), 可以得到如下线性系统

$$(I + rA_c)\Phi^{n+1} = \Phi^n + \mathbf{b}^{\text{BE}}, \quad (9)$$

其中  $I$  是单位矩阵,

$$r := \frac{k\nu}{h^2}, \quad (10)$$

$$\Phi^n := (\phi_1^{n+1}, \phi_2^{n+1}, \dots, \phi_M^{n+1}, \phi_{M+1}^{n+1}, \dots, \phi_{N-1}^{n+1}, \phi_N^{n+1})^T, \quad (11)$$

$$\mathbf{b}^{\text{BE}} := (b_1 r \phi_B(t_{n+1}), 0, \dots, 0)^T, \quad (12)$$

$$A_c := \begin{bmatrix} a_{11} & a_{12} & & & & & \\ -1 & 2 & -1 & & & & \\ & \ddots & \ddots & \ddots & & & \\ & & -1 & 2 & -1 & & \\ & & & -1 & 2 & -1 & \\ & & & & \ddots & \ddots & \ddots \\ & & & & & -1 & 2 & -1 \\ & & & & & & -1 & 1 \end{bmatrix}. \quad (13)$$

上标“BE”表示向后欧拉方法.  $A_c$  的最后一行由齐次 Neumann 边界条件 (4b) 的线性近似得到:

$$\phi_{N+1} - \phi_N = 0, \quad (14)$$

其中  $\phi_{N+1}$  表示靠近右边界右侧单元格的中心值.

(13) 和 (12) 中的系数  $a_{11}, a_{12}$  和  $b_1$  取决于左侧 Dirichlet 边界条件的处理方式. 令  $\phi_0$  表示靠近左边界左侧单元格的中心值, 则由 (4a) 的线性近似

$$\phi_1 + \phi_0 = 2\phi_B \quad (15)$$

可得

$$a_{11} = 3, a_{12} = -1, b_1 = 2, \quad (16)$$

而由 (4a) 的二次近似

$$\phi_0 = \frac{8}{3}\phi_B - 2\phi_1 + \frac{1}{3}\phi_2 \quad (17)$$

则可得

$$a_{11} = 4, a_{12} = -\frac{4}{3}, b_1 = \frac{8}{3}. \quad (18)$$

由近似 (8) 可知

$$\phi_{M+1}^* = \frac{r}{1+r}\phi_M^{n+1} + \frac{1-r}{1+r}\phi_{M+1}^n + \frac{r}{1+r}\phi_{M+2}^n, \quad (19)$$

再结合 (7) 可得

$$\left(1 + \frac{2r+r^2}{1+r}\right)\phi_M^{n+1} - r\phi_{M-1}^{n+1} = \phi_M^n + \frac{r(1-r)}{1+r}\phi_{M+1}^n + \frac{r^2}{1+r}\phi_{M+2}^n. \quad (20)$$

将  $\frac{\phi_M^{n+1} - \phi_{M+1}^*}{h}$  作为  $\Omega_2$  的左侧 Neumann 边界条件, 则可以得到单元格  $M+1$  上的方程

$$-\frac{r}{1+r}\phi_M^{n+1} + (1+r)\phi_{M+1}^{n+1} - r\phi_{M+2}^{n+1} = \phi_{M+1}^n - \frac{r(1-r)}{1+r}\phi_{M+1}^n - \frac{r^2}{1+r}\phi_{M+2}^n. \quad (21)$$

因此, 常数系数情况下本文算法的线性系统为

$$(I + rA)\Phi^{n+1} = (I + rS)\Phi^n + \mathbf{b}^{\text{BE}}. \quad (22)$$

$\Omega_1$  和  $\Omega_2$  上子区域求解器的耦合反映在矩阵  $S$  和  $A$  中. 矩阵  $S$  的绝大多数元素是零, 除了

$$s_{ij} = \begin{cases} \frac{1-r}{1+r} & \text{if } i = M, j = M+1; \\ \frac{r}{1+r} & \text{if } i = M, j = M+2; \\ -\frac{1-r}{1+r} & \text{if } i = M+1, j = M+1; \\ -\frac{r}{1+r} & \text{if } i = M+1, j = M+2; \\ 0 & \text{otherwise.} \end{cases} \quad (23)$$

矩阵  $A$  是用 (20) 和 (21) 修改 (13) 得到:

$$A = \begin{bmatrix} a_{11} & a_{12} & & & & & & \\ -1 & 2 & -1 & & & & & \\ & \ddots & \ddots & \ddots & & & & \\ & & -1 & \frac{2+r}{1+r} & 0 & & & \\ & & & -\frac{1}{1+r} & 1 & -1 & & \\ & & & & \ddots & \ddots & \ddots & \\ & & & & & -1 & 2 & -1 \\ & & & & & & -1 & 1 \end{bmatrix}. \quad (24)$$

## 1.2 稳定性分析

在本小节中，我们主要研究本文算法的稳定性，其可被写成如下形式

$$\Phi^{n+1} = B\Phi^n + \mathbf{b}_L, \quad (25)$$

其中  $B = (I + A)^{-1}(I + S)$ ,  $\mathbf{b}_L = (I + A)^{-1}\mathbf{b}^{\text{BE}}$ ,  $A$ 、 $S$  与 (24)、(23) 一致.

定义  $t_n$  时刻的误差向量

$$E^n = \Phi^n - \hat{\Phi}^n, \quad (26)$$

其中  $t = t_n$  时刻网格上的精确解向量  $\phi(x, t)$  为

$$\hat{\Phi}^n = (\phi(x_1, t_n), \phi(x_2, t_n), \dots, \phi(x_N, t_n))^T. \quad (27)$$

定义第  $n$  时间步的局部截断误差  $\tau^n$  为

$$\tau^n = \hat{\Phi}^{n+1} - B\hat{\Phi}^n - \mathbf{b}_L. \quad (28)$$

结合(25)、(26)、和 (28) 可得

$$E^{n+1} = BE^n - \tau^n. \quad (29)$$

由归纳法可得

$$E^n = B^n E^0 - \sum_{m=1}^n B^{m-1} \tau^{n-m}, \quad (30)$$

其中  $B$  的上标表示矩阵的幂，其他上标都表示时间步.

显然由 (30) 可知，我们方法的稳定性依赖于矩阵  $B$  的 *power-bounded* 性质，即

$$\exists C \in \mathbb{R} \text{ s.t. } \forall n \in \mathbb{N}, \|B^n\| < C, \quad (31)$$

本文中范数  $\|\cdot\|$  取  $\infty$  范数.

### 1.2.1 特征值稳定性

本节我们从特征值角度考察稳定性，证明或验证矩阵  $B$  的谱半径是小于 1 的因为  $B$  是非奇异的，其特征值的倒数为  $B^{-1}$  的特征值，我们可以转而考察  $B^{-1}$  的特征值. 令

$$B^{-1} = (I + S)^{-1}(I + A) = (I + T)(I + A) \quad (32)$$

其中  $(I + T) = (I + S)^{-1}$ . 易得  $T$  为

$$(T)_{i,j} = \begin{cases} -\frac{r(1-r)}{1+r^2} & \text{if } i = M, j = M+1; \\ -\frac{r^2}{1+r^2} & \text{if } i = M, j = M+2; \\ \frac{r(1-r)}{1+r^2} & \text{if } i = M+1, j = M+1; \\ \frac{r^2}{1+r^2} & \text{if } i = M+1, j = M+2; \\ 0 & \text{otherwise.} \end{cases} \quad (33)$$

定义  $Q = T + A + TA$ , 则我们有  $B^{-1} = I + Q$ ,

$$Q = r \begin{bmatrix} a_{11} & a_{12} & & & & & & & \\ -1 & 2 & -1 & & & & & & \\ & \ddots & \ddots & \ddots & & & & & \\ & & -1 & 2 & -1 & & & & \\ & & & -1 & 1 + \frac{1}{1+r^2} & \frac{2r^2-1}{1+r^2} & -\frac{3r^2}{1+r^2} & \frac{r^2}{1+r^2} & \\ & & & & -\frac{1}{1+r^2} & \frac{1-2r^2}{1+r^2} + 1 & \frac{2r^2-1}{1+r^2} & -\frac{r^2}{1+r^2} & \\ & & & & & -1 & 2 & -1 & \\ & & & & & & \ddots & \ddots & \ddots \\ & & & & & & & -1 & 2 & -1 \\ & & & & & & & & -1 & 1 \end{bmatrix}, \quad (34)$$

$Q$  的元素  $q_{i,j}$  只在  $(i, j) \in [M, M+1] \times [M, M+3], 1 < M < N-2$  处是不规律的, 其他元素与 (24) 中一致,  $r = \frac{kv}{h^2} = O(\frac{1}{h}) = O(N) > 0$ . 当  $h \rightarrow 0$ , 我们希望证明  $B$  的谱半径

$$\rho(B) \leq 1, \quad (35)$$

即证明所有

$$|\lambda(B^{-1})| = |1 + \lambda(Q)| \geq 1. \quad (36)$$

目前, 我们已经从数值实验角度验证了上述结论, 对于  $N = 100, 200, 400, 800, 1600, 3200, 6400, 10000$ ,  $r = \nu N$ ,  $\nu = 0.001, 0.01, 0.1, 1, 10, 50, 100$ ,  $M = 0.1N, 0.2N, \dots, 0.9N$ ,  $Q$  的所有特征值实部都是大于 0 的, 因此  $B$  的谱半径  $|\rho(B)| \leq 1$ .

## 2 一些思路

1. 将  $Q$  分解为  $Q = Q_1 + Q_2$ , 其中  $Q_1$  可以为三对角 (半) 正定矩阵,  $Q_2$  为只在  $(i, j) \in [M, M+3] \times [M, M+3]$  处有非零元素的矩阵, 其特征值可求, 例如:

$$Q_1 = r \begin{bmatrix} 3 & -1 & & & \\ -1 & 2 & -1 & & \\ & \ddots & \ddots & \ddots & \\ & & -1 & 2 & -1 \\ & & & -1 & 1 \end{bmatrix}, \quad Q_2 = \begin{bmatrix} \mathbf{0} & & \\ & Q_{4 \times 4} & \\ & & \mathbf{0} \end{bmatrix}, \quad Q_{4 \times 4} = \frac{r^3}{r^2+1} \begin{bmatrix} -1 & 3 & -3 & 1 \\ 1 & -3 & 3 & -1 \\ 0 & 0 & 0 & 0 \\ 0 & 0 & 0 & 0 \end{bmatrix}, \quad (37)$$

此时  $Q_1$  是一个对称三对角正定矩阵,  $Q_2 = \frac{r^3}{r^2+1} uv^T$  是一个秩 1 矩阵,  $u = [0, \dots, 0, -1, 1, 0, 0, \dots, 0]^T$ ,  $v = [0, \dots, 0, 1, -3, 3, -1, 0, \dots, 0]^T$ , 其非零特征值为  $\lambda_{Q_2} = \frac{4r^3}{r^2+1}$ , 对应特征向量为  $[0, \dots, 0, 1, -1, 0, \dots, 0]^T$ , 1 和 -1 所在位置分别为  $M$  和  $M+1$ . 考虑从秩 1 校正矩阵特征值的思路去考察问题.

特别的,

$$Q_0 = r \begin{bmatrix} 2 & -1 & & & \\ -1 & 2 & -1 & & \\ & \ddots & \ddots & \ddots & \\ & & -1 & 2 & -1 \\ & & & -1 & 2 \end{bmatrix} \quad (38)$$

的特征对是准确可知的, 其特征值为  $\lambda_k = 4r \sin^2\left(\frac{k\pi}{2(N+1)}\right)$ , 对应特征值  $\mathbf{w}_k$  的第  $j$  个元素为  $w_{k,j} = \sin\left(\frac{jk\pi}{N+1}\right)$ , 目前还不确定  $Q_1$  的特征值是否可显式计算, 如果不能, 可以将其看作对  $Q_0$  校正后的结果, 从这一层面上考察其特征值.

2. Sherman-Morrison formula:  $A$  是可逆方阵,  $1 + v^T A^{-1} u \neq 0$ , 则

$$(A + uv^T)^{-1} = A^{-1} - \frac{A^{-1}uv^T A^{-1}}{1 + v^T A^{-1}u}. \quad (39)$$

该公式也与秩 1 校正息息相关, 其给出了秩 1 校正矩阵逆的计算方法. 如此可以得到求  $B$  的公式, 即

$$\begin{aligned} B &= (I + Q)^{-1} = (I + Q_1 + Q_2)^{-1} \\ &= (I + Q_1 + \frac{r^3}{r^2 + 1} uv^T)^{-1} \\ &= (I + Q_1)^{-1} - \frac{(I + Q_1)^{-1} \frac{r^3}{r^2 + 1} uv^T (I + Q_1)^{-1}}{1 + \frac{r^3}{r^2 + 1} v^T (I + Q_1)^{-1} u}. \end{aligned} \quad (40)$$

3. 同样将  $Q$  分解为  $Q = Q_1 + Q_2$ ,  $Q_2$  为只在  $(i, j) \in [M, M+3] \times [M, M+3]$  处有非零元素的矩阵, 能否找到一种分解使得  $Q_1$ 、 $Q_2$  都是 (半) 正定矩阵.

4. 因为矩阵的谱半径是所有矩阵范数的下确界, 所以, 如果能找到一种矩阵范数, 使得

$$\|B\| \leq 1, \quad (41)$$

即可得证. 然而, 目前我们从  $\infty$ -范数角度分析发现并不可行, 下表是一些数值结果, 可以发现  $\|B\|_\infty$  远大于 1.

表 1: 不同  $N$  取值下的  $\|B\|_\infty$ ,  $M = N/2$ ,  $r = N$ .

$N$	100	500	1000	5000
$\ B\ _\infty$	18.04	42.74	61.6	139.43